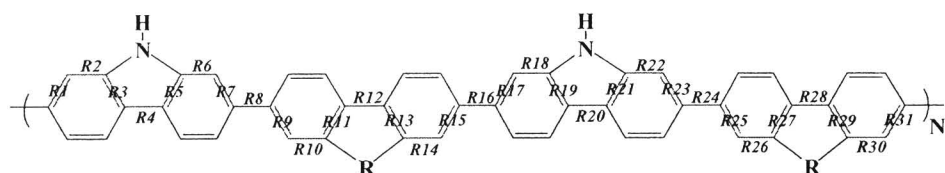


ผลการวิจัย

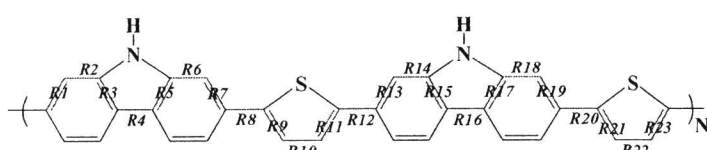
1. การศึกษาสมบัติใหม่ๆที่สภาวะกระดับของสารตัวนำพอลิเมอร์นำไฟฟ้าในกลุ่มของอนุพันธ์พอลีคาร์บานาโอล โดยวิธีคำนวณทางเคมีทฤษฎี

1.1 การศึกษาผลของระเบียบวิธีและเบซิตเซต

งานวิจัยนี้มุ่งเน้นศึกษาสมบัติทางโครงสร้างและอิเล็กทรอนิกส์ในกลุ่มของอนุพันธ์พอลีคาร์บานาโอล ด้วยระเบียบวิธีการคำนวณทางเคมีความต้ม ทฤษฎีเดนชิด์ฟังก์ชันนอล (DFT) โดยทำการศึกษาผลของระเบียบวิธีและเบซิตเซตในการศึกษาสมบัติทางโครงสร้างและอิเล็กโตรนิดของพอลิเมอร์นำไฟฟ้าในกลุ่มของอนุพันธ์พอลีคาร์บานาโอล เนื่องด้วยโมเลกุลของพอลิเมอร์เกิดจากการต่อเรียงกันด้วยโมเลกุลโมโนเมอร์หลายหน่วย ทำให้โมเลกุลของพอลิเมอร์เป็นโมเลกุลที่มีขนาดใหญ่ ซึ่งการศึกษาสำหรับโมเลกุลขนาดใหญ่ด้วยระเบียบวิธีการคำนวณทางเคมีความต้มนั้นมักจะเกิดปัญหามาก ทั้งความสามารถในการคำนวณของคอมพิวเตอร์ และเวลาที่ใช้ในดังนั้น ก่อนทำการศึกษาทางผู้วิจัยจึงทำการการศึกษาผลของระเบียบวิธีและเบซิตเซตในการศึกษาสมบัติทางโครงสร้างและอิเล็กโตรนิดของพอลิเมอร์ ที่สามารถทำการคำนวณได้สำหรับระบบพอลิเมอร์ได้ โดยเปรียบเทียบผลที่ได้จากการคำนวณด้วยระเบียบวิธี B3LYP ที่ใช้ 2 เบซิตเซต คือ SVP และ TZVP กับระเบียบวิธีที่ให้ความถูกต้องสูงกว่า เพื่อเป็นการทดสอบระเบียบวิธีที่เหมาะสมในการศึกษาที่จะใช้ในการศึกษาสำหรับ RI-CC2/SVP ระบบพอลิเมอร์ต่อไป



(a) R=NH: -(Cz-co-Cz)_N- and R=CH₂: -(Cz-co-Fl)_N-



(b) -(Cz-co-Th)_N-

รูปที่ 2 แสดงอนุพันธ์พอลีคาร์บานาโอลที่ทำการศึกษา ประกอบด้วย 3 โมเลกุล คือ โซโนพอลิ

เมอร์ของคาร์บานาโอล และโโคพอลิเมอร์ระหว่างคาร์บานาโอลกับฟลูออรีนและไทโพรีน



ตารางที่ 1. แสดงค่าสมบัติทางโครงสร้างที่สภาวะพื้น (S_0) และสภาวะถูกกระตุ้น (S_1) ของโมโนเมโนลีเมอร์ของคาร์บาร์โบโซล

Parameters	S_0		S_1		
	B3LYP/ SVP	B3LYP/ TZVP	RI-CC2/ SVP	TD-B3LYP/ SVP	TD-B3LYP/ TZVP
(Cz-co-Cz)					
R1	1.396	1.389	1.400	1.404	1.397
R2	1.400	1.393	1.404	1.395	1.387
R3	1.425	1.418	1.426	1.440	1.433
R4	1.451	1.447	1.447	1.425	1.419
R5	1.423	1.416	1.426	1.440	1.434
R6	1.398	1.390	1.402	1.379	1.371
R7	1.405	1.397	1.407	1.445	1.439
R8	1.488	1.484	1.481	1.441	1.433
R9	1.405	1.397	1.407	1.445	1.439
R10	1.398	1.390	1.402	1.379	1.371
R11	1.423	1.416	1.427	1.440	1.434
R12	1.451	1.447	1.447	1.425	1.419
R13	1.425	1.418	1.426	1.440	1.433
R14	1.400	1.393	1.404	1.395	1.387
R15	1.396	1.389	1.400	1.404	1.397
Torsion angle	140.5	140.1	139.9	170.2	167.3

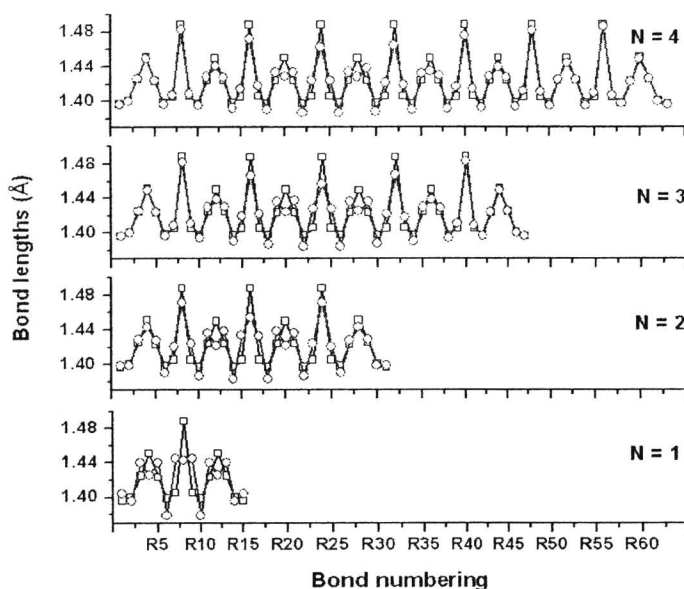
จากการคำนวณในตารางที่ 1 แสดงสมบัติทางโครงสร้างของโมโนเมโนลีเมอร์สำหรับโมโนโลลีเมอร์ของคาร์บาร์โบโซล ทั้งที่สภาวะพื้นและสภาวะถูกกระตุ้น โดยการคำนวณด้วยระเบียบวิธีต่างๆ ซึ่งพบว่าผลของระเบียบวิธี เบซิตเซต และชนิดของเดนชิตี้ พังก์ชัลนอล มีความสำคัญอย่างสูงในการที่จะใช้ในการพิจารณาสมบัติทางโครงสร้างและสมบัติทางอิเล็กทรอนิกของพอลิเมอร์ โดยพิจารณาโครงสร้างของโมโนเมโนลีเมอร์ที่สภาวะพื้น จากค่าระยะทางพันธะภายในของโมเลกุล โดยทำการเปรียบเทียบค่าจากการคำนวณด้วยระเบียบวิธี B3LYP ที่เบซิตเซตทั้งสองชนิด (SVP และ TZVP) และระเบียบวิธี RI-CC2/SVP ซึ่งระเบียบวิธี RI-CC2/SVP เป็นระเบียบวิธีที่ให้ความถูกต้องสูง แต่ข้อเสียของระเบียบวิธี RI-CC2/SVP คือไม่สามารถใช้คำนวณได้กับระบบที่มีขนาดใหญ่มาก เนื่องจากระเบียบวิธีนี้ต้องใช้คอมพิวเตอร์ประสิทธิภาพสูง และต้องใช้เวลาในการคำนวณที่นานมาก จากค่าที่แสดงในตารางที่ 1 เมื่อเราทำการพิจารณาผลเบซิตเซตทั้งสองชนิด (SVP และ TZVP) และชนิดของระเบียบวิธีในการคำนวณ พบว่าทั้งสามการคำนวณให้ค่าต่างกันประมาณ 0.01 Å ซึ่งถือว่าแทบจะไม่แตกต่างกันเลย ซึ่งแสดงว่าการคำนวณด้วยระเบียบวิธี B3LYP



ที่เบซิตเซต SVP ให้ผลทางโครงสร้างสอดคล้องเทียบเท่ากับการคำนวณที่เบซิตเซต TZVP และระเบียบวิธีสูงกว่า ซึ่งเป็นประโยชน์ในการศึกษาคือใช้เวลาในการคำนวณน้อยกว่าและให้ผลการคำนวณที่ดีกว่าต้องเทียบเท่าระเบียบวิธีที่สูงได้ นอกจากนี้แล้วระเบียบวิธี B3LYP ที่เบซิตเซต SVP นี้ยังสามารถทำการคำนวณได้กับระบบที่มีขนาดใหญ่ได้ ซึ่งนักวิจัยจะได้นำเอาระเบียบวิธีนี้ไปใช้ในการคำนวณกับอนุพันธ์ของพอลิคาร์บอไซลในขั้นตอนต่อไป

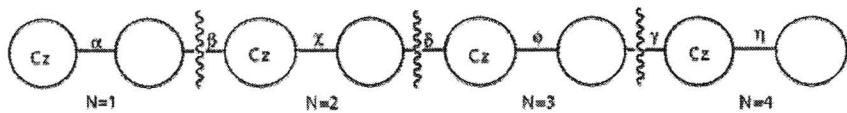
1.2 เปรียบเทียบสมบัติทางโครงสร้างที่สภาวะพื้นและสภาวะกระดับ

จากการศึกษาจากหัวข้อข้างต้นทำให้ทราบว่าระเบียบวิธีที่เหมาะสมในการศึกษาสมบัติทางโครงสร้างของพอลิเมอร์ คือ ระเบียบวิธี B3LYP/SVP และ TD-B3LYP/SVP สำหรับการศึกษาที่สภาวะพื้นและสภาวะถูกกระดับตามลำดับ ซึ่งเป็นการศึกษากับโมเลกุลที่มีขนาดเล็กต่อไปเราจะทำการศึกษาสำหรับระบบที่มีขนาดใหญ่ขึ้นโดยการเพิ่มขนาดของโมโนเมอร์ขึ้นตั้งแต่โมโนเมอร์ (แทนด้วย N) N=1-4 โมโนเมอร์ เพื่อเป็นการพิจารณาสมบัติของพอลิเมอร์ต่อไป



รูปที่ 3 แสดงระดับพันธะของโมเลกุลอนุพันธ์พอลิคาร์บอไซล (แทนด้วย N) N=1-4 โมโนเมอร์ ทั้งที่สภาวะพื้นและสภาวะถูกกระดับ

ຕາරັງທີ 2. ມຸນຂອງຮະນາບຂອງໂມເລກລອນຸພັນໜີພອລືກາຣົນບາໂຫລໂດຍກາເພີ່ມຂາດຂອງໂມໂນເມອຣ໌
ຕັ້ງແຕ່ ໂມໂນເມອຣ໌ (ແກ່ນດ້ວຍ N) N=1-4 ໂມໂນເມອຣ໌ ທັງທີ່ສກວະພິນ (S₀) ແລະ ສກວະຄູກຮະຕຸນ (S₁)



Oligomers	Bond torsional angles ($^{\circ}$)						
	α	β	γ	δ	ε	γ	η
$(\text{Cz-co-Cz})_N$							
N=1	140.51 (170.24)						
N=2	141.54 (155.15)	141.15 (163.88)	141.56 (155.03)				
N=3	141.94 (147.13)	142.79 (155.54)	142.80 (160.24)	142.76 (155.39)	142.00 (146.68)		
N=4	141.99 (146.06)	141.58 (152.82)	142.25 (159.91)	143.44 (154.50)	141.88 (155.69)	141.77 (148.60)	141.91 (143.88)
$(\text{Cz-co-Fl})_N$							
N=1	142.14 (170.71)						
N=2	142.20 (156.46)	142.19 (167.58)	142.30 (155.39)				
N=3	142.53 (146.86)	143.38 (157.03)	142.40 (164.52)	143.21 (157.34)	142.42 (148.24)		
N=4	142.69 (156.46)	142.60 (167.58)	142.44 (155.39)	141.78 (167.58)	142.66 (156.46)	142.59 (167.58)	143.04 (155.39)
$(\text{Cz-co-Th})_N$							
N=1	21.06 (0.01)						
N=2	27.23 (0.02)	27.41 (0.00)	27.00 (0.00)				
N=3	24.19 (0.02)	24.52 (0.04)	25.67 (0.02)	24.72 (0.00)	25.61 (0.03)		
N=4	26.82 (0.00)	25.78 (0.01)	27.81 (0.01)	26.14 (0.00)	27.53 (0.01)	25.49 (0.00)	26.04 (0.02)

จากรูปที่ 3 และตารางที่ 2 แสดงระเบียบและมุมของระนาบของโมเลกุลอนุพันธ์พอลีคาร์บอโนลโดยการเพิ่มขนาดของโมโนเมอร์ขึ้นตั้งแต่ $N=1-4$ โมโนเมอร์ (แทนด้วย $N=\text{จำนวนโมโนเมอร์}$) ทั้งที่สภาวะพื้นและสภาวะถูกกระตุ้น พบว่า เมื่อจำนวนโมโนเมอร์เพิ่มขึ้นลักษณะของพันธะภายในโครงสร้างจะแสดงลักษณะเป็นระบบ Periodic มีรับทางเหมือนเดิมซึ่งกันไป ดังแสดงในรูป 3 และเมื่อเปรียบเทียบระหว่างโครงสร้างที่สภาวะพื้นและสภาวะกระตุ้นพบว่าโครงสร้างที่สภาวะกระตุ้นโครงสร้างจะเกิดการเปลี่ยนแปลงแสดงการเกิดการ delocalize ของระบบพันธะไมมากกว่า ซึ่งทำให้โครงสร้างที่สภาวะกระตุ้นมีความเป็นระนาบมากกว่าที่สภาวะพื้นดังแสดงค่ามุขของระนาบในตารางที่ 2 ซึ่งจากการศึกษาที่ทำให้เราเข้าสมบัติทางโครงสร้างที่สภาวะพื้นและสภาวะถูกกระตุ้น คือเมื่อโมเลกุลเกิดการกระตุ้นโครงสร้างจะเกิดการเปลี่ยนแปลงทำให้โครงสร้างมีความเป็นระนาบมากกว่าที่สภาวะพื้น ซึ่งให้ข้อต่อไปเราจะได้อธิบายสำหรับสมบัติทางอิเล็กทรอนิกส์ไป

1.3 ศึกษาสมบัติการดูดกลืนแสงและสมบัติการ cavity แสง

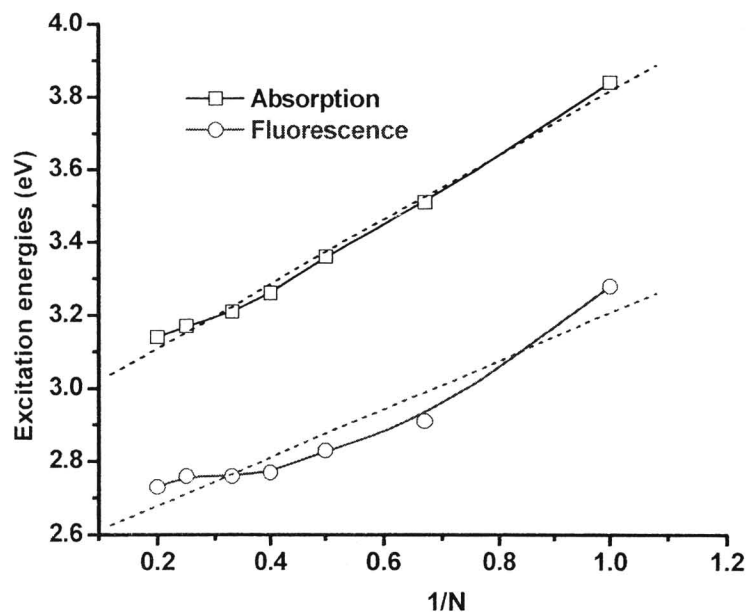
ศึกษาสมบัติทางโครงสร้างและอิเล็กทรอนิกส์ของอนุพันธ์คาร์บอโนล เพื่อเป็นข้อมูลก่อนที่จะทำการสังเคราะห์ โดยพิจารณาสมบัติการดูดกลืนพลังงานแสง และค่าการ cavity พลังงานแสง ว่า เมื่อโมเลกุลของอนุพันธ์คาร์บอโนล เมื่อจำนวนโมโนเมอร์เพิ่มขึ้นจาก $N=1-4$ โมโนเมอร์ ระเบียบวิธีที่ใช้ในการศึกษาคือ ใช้ระเบียบวิธี B3LYP และ TD-B3LYP ที่เบซิคเซต SVP สำหรับคำนวนโครงสร้างที่สภาวะพื้นและสภาวะถูกกระตุ้น ตามลำดับ โดยใช้โปรแกรม TURBOMOLE เวอร์ชัน 5.70

จากตารางที่ 3 แสดงค่าพลังงานการดูดกลืนและการ cavity พลังงานแสง เมื่อจำนวนโมโนเมอร์เพิ่มขึ้น จากค่าในตารางพบว่าเมื่อจำนวนโมโนเมอร์เพิ่มขึ้นค่าการดูดกลืนและการ cavity พลังงานแสงจะมีค่าลงลด ยกตัวอย่างในกรณี (Cz)_N เมื่อจำนวนโมโนเมอร์เพิ่มขึ้น ค่าการดูดกลืนจะมีค่าลดลงจาก 3.84 eV, 3.52 eV, 3.38 eV และ 3.28 eV ตามลำดับ ซึ่งเมื่อเราทำการนำค่าดังกราฟมาพล็อตกราฟความสัมพันธ์ระหว่าง ค่าพลังงานและ 1/N จะพบว่าจะได้เส้นกราฟที่เป็นเส้นตรงสำหรับช่วง $N=1-5$ แต่เมื่อจำนวนเพิ่มมากกว่า $N > 6$ เส้นกราฟจะเริ่มเบี้ยง ออกจากเส้นตรง ซึ่งทางเหตุผลนั้นเนื่องมาจากผล long rang interaction ภายในโครงสร้าง ซึ่งเมื่อเราทำการพิจารณาโดยการนำค่า Effective Chain Length (ECL) พบว่า ค่าที่พลังงานของพอลิเมอร์ที่ $N=4$ สามารถนำมาใช้อธิบายสมบัติของพอลิเมอร์ได้ ซึ่งให้ค่าที่สอดคล้องกับค่าจากการทดลองทั้งค่าพลังงานการดูดกลืนและการ cavity พลังงานแสง เราสามารถพิจารณาสมบัติทางอิเล็กทรอนิกส์ของอนุพันธ์คาร์บอโนลโดยพิจารณาค่าที่พลังงานของพอลิเมอร์ที่ $N=4$ ได้ดังแสดงในตารางที่ 4



ตารางที่ 3. แสดงค่าพลังงานการดูดกลืน (E_{abs}), พลังงานการ cavity แสง (E_{cp}) และค่าทำนายครึ่งชีวิตในการ cavity แสงของอนุพันธ์ของพอลิคาร์บนาโอม ค่าในวงเล็บแสดงค่า oscillator strength

Polymers	Absorption		Fluorescence	
	E_{abs}/eV		E_{flu}/eV	Lifetime/ns
(Cz)_N				
N=2	3.84		3.25 (1.465)	1.488
N=3	3.52		2.94 (2.391)	1.117
N=4	3.38		2.81 (3.280)	0.891
N=5	3.28		2.71 (4.193)	0.748
N=∞	2.91		2.35	0.275
Experimental	3.25		2.84	
(Cz-co-Fl)_N				
N=2	3.30		2.74 (3.173)	0.966
N=3	3.16		2.66 (4.430)	0.735
N=4	3.07		2.63 (5.440)	0.613
N=5	3.03		2.60 (6.911)	0.493
N=∞	2.84		2.51	0.212
Experimental	3.20		2.91	
(Cz-co-Th)_N				
N=2	3.10		2.56 (2.219)	1.586
N=3	2.85		2.33 (2.962)	1.439
N=4	2.75		2.24 (4.540)	1.008
N=5	2.67		2.17 (5.561)	0.888
N=∞	2.39		1.91	0.459
Experimental	2.60		2.43	



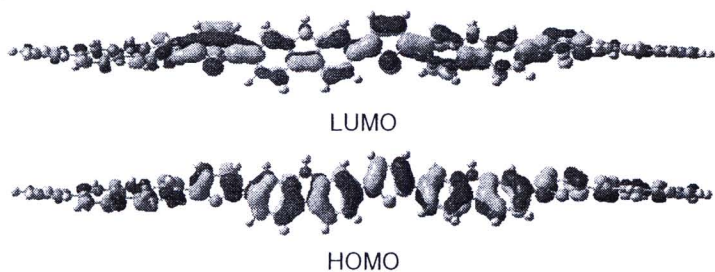
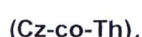
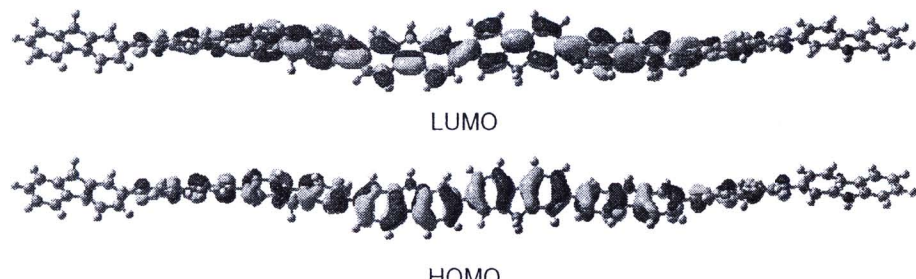
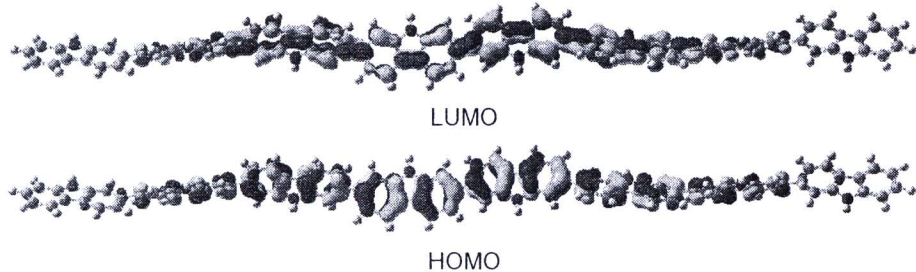
ຮູບທີ 5 ແສດງກາຣົກວາມສັມພັນຮະຫວ່າງຄໍາພລັງງານກາຣດູດກລືນ ໂດຍກາຣຄໍານວณ ກັບ $1/N$ ເມື່ອ N ແກ່ນຈຳນວນຂອງໂມໂນເມອຣ

ตารางที่ 4. แสดงค่าพลังงานการกระตัน (E_{ex} (eV)), oscillator strengths (f), และอิเล็กโตรนิกท رانชิชั่นของการกระตัน ของอนุพันธ์พอลิຄาร์บานໂໂຮລ โดยการคำนวณด้วย TD-B3LYP/SVP

Electronic transitions	E_{ex}	f	Wave function composition
(Cz-co-Cz) ₄			
Absorption			
$S_0 \rightarrow S_1$	3.17	6.112	$H \rightarrow L(61.8\%)$, $H-1 \rightarrow L+1(25.1\%)$
$S_0 \rightarrow S_2$	3.34	0.002	$H-1 \rightarrow L(45.8\%)$, $H \rightarrow L+1(45.8\%)$
$S_0 \rightarrow S_3$	3.51	0.773	$H-1 \rightarrow L+1(46.5\%)$, $H \rightarrow L+2(31.8\%)$
$S_0 \rightarrow S_4$	3.54	0.008	$H-1 \rightarrow L+1(47.4\%)$, $H \rightarrow L+1(46.8\%)$
Fluorescence			
$S_1 \rightarrow S_0$	2.76	5.814	$H \rightarrow L(65.3\%)$, $H-1 \rightarrow L+1(17.8\%)$
(Cz-co-Fl) ₄			
Absorption			
$S_0 \rightarrow S_1$	3.14	6.169	$H \rightarrow L(61.4\%)$, $H-1 \rightarrow L+1(25.8\%)$
$S_0 \rightarrow S_2$	3.31	0.011	$H-1 \rightarrow L(46.4\%)$, $H \rightarrow L+1(45.4\%)$
$S_0 \rightarrow S_3$	3.50	0.039	$H \rightarrow L+1(46.9\%)$, $H-1 \rightarrow L(46.3\%)$
$S_0 \rightarrow S_4$	3.51	0.731	$H \rightarrow L+1(47.1\%)$, $H-2 \rightarrow L(30.6\%)$
Fluorescence			
$S_1 \rightarrow S_0$	2.63	7.076	$H \rightarrow L(59.9\%)$, $H+1 \rightarrow L+1(28.7\%)$
(Cz-co-Th) ₄			
Absorption			
$S_0 \rightarrow S_1$	2.81	4.277	$H \rightarrow L(65.0\%)$, $H-1 \rightarrow L+1(18.4\%)$
$S_0 \rightarrow S_2$	3.10	0.000	$H \rightarrow L+1(47.9\%)$, $H-1 \rightarrow L(45.3\%)$
$S_0 \rightarrow S_3$	3.18	0.012	$H-1 \rightarrow L+1(50.0\%)$, $H \rightarrow L+1(47.0\%)$
$S_3 \rightarrow S_4$	3.35	0.886	$H-1 \rightarrow L+1(63.3\%)$, $H \rightarrow L(19.1\%)$
Fluorescence			
$S_1 \rightarrow S_0$	2.25	4.598	$H \rightarrow L(65.7\%)$, $H-1 \rightarrow L+1(13.3\%)$

ตารางที่ 4 แสดงค่าพลังงานการดูดกลืนและการ cavity พลังงานแสง ค่า oscillator strength (f) ซึ่งเป็นค่าที่บวกกับโอกาสในการเกิดท ranชิชั่นของอิเล็กตรอนจากการดับพลังงาน ค่าในตารางแสดงว่า โมเลกุลทั้งสามจะเกิดการดูดกลืนแสงด้วยพลัง (3.17, 3.14 และ 2.81 eV สำหรับ (Cz-co-Cz)₄, (Cz-co-Cz)₄ และ (Cz-co-Cz)₄ ตามลำดับ) โมเลกุลจะเกิดการกระตันแบบ $S_0 \rightarrow S_1$ เนื่องจากมีค่า oscillator strength (6.112, 6.169 และ 4.277 สำหรับ (Cz-co-Cz)₄, (Cz-co-Cz)₄ และ (Cz-co-Cz)₄ ตามลำดับ) ที่สูงกว่า ranชิชั่นอื่น ซึ่ง ranชิชั่นแบบ $S_0 \rightarrow S_1$ แสดงการ

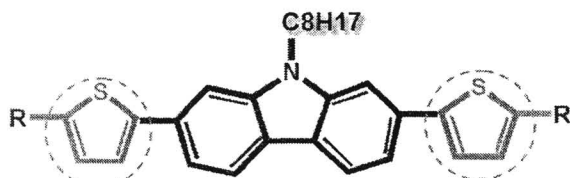
กระดับอิเล็กตรอนจากระดับพลังงาน HOMO ไปยังระดับพลังงาน LUMO โดยรูปที่ 7 แสดงโมเลกุล Larro ออร์บิทัลของห้องสมัยโมเลกุล จะเห็นได้ว่าอิเล็กตรอนจะเกิดการ delocalize ภายในสายโซ่ของพอลิเมอร์ แล้วหลังจากนั้น โมเลกุลจะเกิดการปรับโครงสร้างดังที่กล่าวมาแล้วในหัวข้อ สมบัติทางโครงสร้างแล้วเกิดการ cavity พลังงานแสงออกมากัดวยพลังงาน 2.76, 2.63 และ 2.25 eV และเมื่อทำการเปรียบเทียบผลการคำนวณกับผลการทดลองจากห้องปฏิบัติการ พบว่าค่าที่ได้จากการคำนวณให้ผลที่สอดคล้องกับผลการทดลอง จากการคำนวณทำให้เราสามารถเข้าใจกลไกในการดูดกลืนและการ cavity พลังงานแสงของอนุพันธ์พอลิคาร์บอโนล ซึ่งความสามารถนำข้อมูลนี้ไปใช้ในการออกแบบสารชนิดใหม่ได้ดีอย่างมาก



รูปที่ 7 แสดง HOMO และ LUMO ของอนุพันธ์พอลิคาร์บอโนล

2. การออกแบบและคำนวณอนุพันธ์ของการบาร์บ่าโซลโดยใช้ระเบียบวิธีทางเคมีความตั้ง

จากการศึกษาที่ผ่านมาพบว่า สมบัติการคายแสงของโมเลกุลโลลิกเมอร์ในระดับ ไดเมอร์ และไตรเมอร์ มีความสามารถในการเรืองแสงไปดีเทียบเท่ากับโมเลกุลในระดับพอลิเมอร์ได้ และพบว่าอนุพันธ์ของการบาร์บ่าโซลเมื่อโดยผลิตเมื่อไหร่เช่นกับโมเลกุลไทด์พิน ประสิทธิภาพในการเรืองสีจะดีขึ้น โดยทางนักวิจัยมีความสนใจในการที่จะออกแบบโมเลกุลอนุพันธ์ของการบาร์บ่าโซล และพร้อมกันนี้ได้ทำการสังเคราะห์อนุพันธ์การบาร์บ่าโซล (ดังแสดงในรูปที่ 8) ต่อไป โดยมีรายละเอียดดังนี้



รูปที่ 8 แสดงโครงสร้างของอนุพันธ์การบาร์บ่าโซล เมื่อ $R = H, Br, CHO$ และ NO_2

2.1 การสังเคราะห์และศึกษาสมบัติการเปลี่ยนแปลงของอนุพันธ์ของการบาร์บ่าโซลโดยใช้ระเบียบวิธีทางเคมีความตั้ง

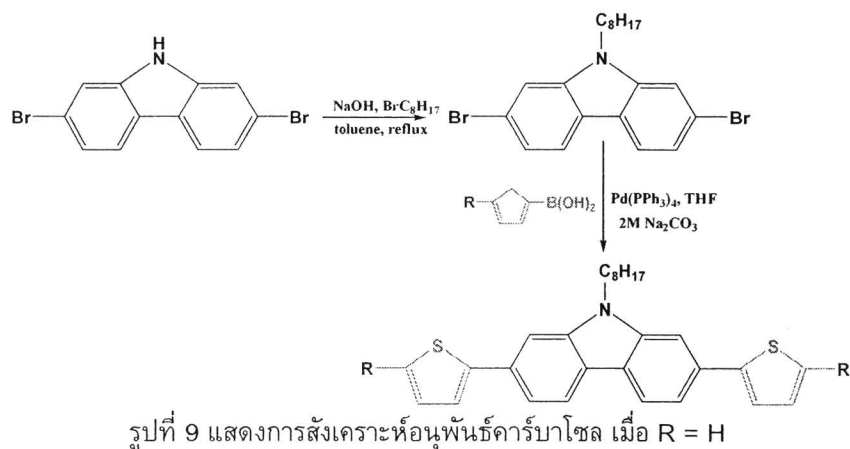
ข้อมูลที่ได้จากการออกแบบและคำนวณอนุพันธ์ของการบาร์บ่าโซลโดยใช้ระเบียบวิธีทางเคมีความตั้ง โดยการศึกษาสมบัติทางโครงสร้างของอนุพันธ์และการบาร์บ่าโซลโดยใช้ระเบียบวิธีทางเคมีความตั้ง บอกให้ทราบว่าเมื่อเราเพิ่มหมู่แทนที่ที่ตัวแทน R สมบัติในการเรืองแสงของสารจะมีประสิทธิภาพเพิ่มขึ้น ดังนั้นเราจึงได้ทำการสังเคราะห์อนุพันธ์ของการบาร์บ่าโซล โดยหมู่แทนที่ที่สังเคราะห์ประกอบด้วย $R = H, Br, CHO$ และ NO_2 (ดังแสดงในรูปที่ 9) ดังปฏิกริยาที่แสดงในข้างล่าง

2.1.1 วิธีการสังเคราะห์อนุพันธ์ของการบาร์บ่าโซล

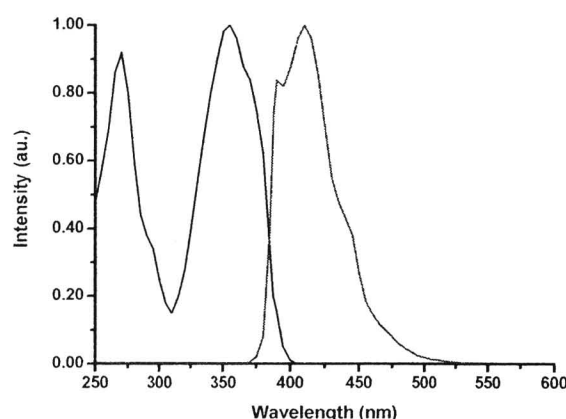
ใช้ปฏิกริยา Suzuki reaction ระหว่าง 2,7-Dibromo-9-ocyl-carbazole กับ 5-R-2-Thienylboronic acid โดยมีวิธีการสังเคราะห์อย่างแสดงในข้างล่าง

นำ 2,7-Dibromo-9-ocyl-carbazole (0.0007 mol), 5-R-2-Thienylboronic acid (0.00156 mol), $Pd(PPh_3)_4$ (0.0144 mol, 6 mol%), และสารละลายน้ำ 2 M Na_2CO_3 (46 mmol) ละลายน้ำใน THF และ reflux ภายใต้สภาวะ N_2 เป็นเวลา 24 ชั่วโมง จากนั้นเติมน้ำ 150 mL และ CH_2Cl_2 150 mL. ล้างซ้ำของสารอินทรีย์ที่ถูกแยกออกมากด้วยน้ำ 150 mL. ตามด้วยน้ำเกลือ 100 mL. และกำจัดน้ำด้วย anhydrous Mg_2SO_4 กรองและกำจัดตัวทำละลายออก ทำให้บริสุทธิ์ด้วยวิธีการ

colloammonium chromatography (silica gel eluting with hexane) ได้ผลึก นำสารที่สังเคราะห์ไปทำการวิเคราะห์ด้วยเทคนิคทางสเปกตรอสโคปีต่อไป



สำหรับการศึกษาสมบัติการดูดกลืนและเปล่งแสงของอนุพันธ์ของการบานาโอลด้วยเครื่อง Spectrophotometer โดยการละลายน้ำในสารละลายน้ำไดคลอโรเมเทน (CH_2Cl_2) และพิจารณาสมบัติการดูดกลืนและเปล่งแสง ดังแสดงในรูปที่ 10 จะเห็นได้ว่าเมื่อ ค่าการดูดกลืนและเปล่งแสงของอนุพันธ์ของการบานาโอล มีค่าเท่ากับ 355 และ 410 nm ตามลำดับ สารแสดงความสามารถดูดแสงในช่วงสีน้ำเงิน ซึ่งหัวข้อต่อไปจะทำการศึกษาผลของหมู่แทนที่ที่ต่างๆ แทน R ว่ามีผลต่อค่าการดูดกลืนและดูดแสงโดยใช้รัฐเบียบริชการคำนวณทางเคมี ความต้ม เพื่อที่จะหาว่าโมเลกุลตัวไหนน่าที่จะทำการสังเคราะห์ต่อไป เพื่อเป็นการประหยัดเวลา ค่าใช้จ่ายและได้สารที่มีประสิทธิภาพที่ดีตามที่เราต้องการต่อไป



รูปที่ 10 แสดง Absorption (เส้นสีดำ) และ Fluorescence spectrum (เส้นสีแดง) ของอนุพันธ์ของคาร์บานาโอล เมื่อ $R = H$

2.1.2 การศึกษาผลของหมู่แทนที่ระเบียบวิธีการคำนวณทางเคมีควบคุมตั้ม

ศึกษาสมบัติทางอิเล็กโตรนิดของอนุพันธ์คาร์บานิโอล (ดังแสดงในรูปที่ 8) เพื่อเป็นข้อมูลก่อนที่จะทำการสังเคราะห์ โดยพิจารณาสมบัติการดูดกลืนพลังงานแสงและค่าการ cavity แสง ว่าเมื่อไม่เลกูลของของอนุพันธ์คาร์บานิโอลที่ถูกปิดด้วยหมู่แทนที่ชนิดต่าง จะมีผลต่อสมบัติการ cavity แสงอย่างไร โดยหมู่แทนที่ที่ทำการพิจารณาประกอบไปด้วย $R = H, Br, CHO$ และ NO_2 ระเบียบวิธีที่ใช้ในการศึกษาคือ ใช้ระเบียบวิธี Density functional theory (DFT) ชนิด PBE0 และ TD-PBE0 ที่เบซิตเซต def2-TZVPP ทำการศึกษาที่สภาวะฟื้นและสภาวะถูกกระตุ้น ตามลำดับ โดยใช้โปรแกรม TURBOMOLE เวอร์ชัน 5.10

ตารางที่ 5 แสดงการคำนวณสมบัติการดูดกลืนแสง สมบัติการ cavity แสงและ oscillator strength ของอนุพันธ์คาร์บานิโอล ด้วยระเบียบวิธี PBE0 และ TD-PBE0 ที่เบซิตเซต def2-TZVPP เมื่อเปรียบเทียบผลที่ได้จากการทดลองกับผลจากการคำนวณพบว่า ผลจากการคำนวณสมบัติการดูดกลืนแสงและสมบัติการ cavity แสงให้ค่าพลังงานเป็น 362.87 และ 3.05 nm สำหรับค่าการดูดกลืนแสงและสมบัติการ cavity แสงตามลำดับ ซึ่งจะเห็นให้ผลที่สอดคล้องกับการทดลอง แสดงว่าระเบียบวิธีที่เราใช้ในการศึกษานี้เหมาะสมที่จะให้สำหรับไม่เลกูลของอนุพันธ์คาร์บานิโอล เมื่อพิจารณาอนุพันธ์คาร์บานิโอลที่ไม่ถูกปิดโครงสร้างด้วยหมู่แทนที่ชนิดต่างๆ พบว่า อนุพันธ์คาร์บานิโอล ที่ถูกปิดโครงสร้างด้วยคาร์บานิโอลด้วย $R = H, Br, CHO$ และ NO_2 จะเกิดการเปลี่ยนแปลงของค่าการดูดกลืนและ cavity แสงเลื่อนไปทางแดงสีแดง (Redshift) ดังแสดงในตารางที่ 5 เรียงลำดับได้ดังนี้ ดังนี้ $H > Br > CHO > NO_2$ และมีค่า oscillator strength เพิ่มขึ้น เรานำค่าที่ได้มาคำนวณค่าครึ่งชีวิตในการ cavity แสงเพื่อจะอธิบายประสิทธิภาพในการ cavity แสง โดยที่สารที่มีประสิทธิภาพในการ cavity แสงที่ดีควรต้องมีค่าครึ่งชีวิตในการ cavity แสงน้อย เนื่องด้วยการที่ค่าครึ่งชีวิตมีค่าน้อยแสดงถึงไม่เกิดหลาຍขั้นตอน ไม่ทำให้เกิดการสูญเสียของพลังงานในขั้นตอนการ relaxation ค่าครึ่งชีวิตในการ cavity แสงคำนวณได้โดยใช้สมการ ดังแสดง

$$\tau = \frac{c^3}{2(E_{Flu})^2 f}$$

เมื่อ c คือ E_{Flu} ค่าพลังงานการ cavity แสง, f คือค่า Oscillator strength

จากค่าครึ่งชีวิตในการ cavity แสงได้ดังนี้ $R = H$ มีค่าครึ่งชีวิตเป็น 1.83 ns ในขณะที่หมู่แทนที่อื่นมีค่าเป็น 1.70, 1.97 และ 2.20 ns แสดงให้เห็นว่าการที่อนุพันธ์คาร์บานิโอลถูกปิดโครงสร้างด้วยหมู่แทนที่ชนิด Electron withdrawing group (EWG) เช่น CHO และ NO_2 จะมีผลทำให้ค่าการดูดกลืนแสงและสมบัติการ cavity แสงลดลงอย่างมาก แต่ไม่ได้เพิ่มประสิทธิภาพในการ cavity แสง ในขณะที่ หมู่แทนที่ชนิด Electron donating group (EDG) เช่น Br และ NH_2 จะมีผลทำให้ค่าการดูดกลืนแสงและสมบัติการ cavity แสงลดลง และเพิ่มประสิทธิภาพในการ cavity แสง ซึ่งจากข้อมูลสามารถนำไปเสนอในการสังเคราะห์ไม่เลกูลชนิดใหม่ต่อไป

ตารางที่ 5. แสดงสมบัติการดูดกลืนแสง สมบัติการ cavity และ oscillator strength ของอนุพันธ์かる์นาโคซล โดยเปรียบเทียบระหว่างอนุพันธ์かる์นาโคซล ที่ไม่ถูกปิดโครงสร้างด้วยหมู่แทนที่ชนิดต่างๆ

Electronic transitions	E_{ex} (eV)	E_{ex} (nm)	f	Wave function composition
R=H				
Absorption				
$S_0 \rightarrow S_1$	3.42	362.87	1.2053	$H \rightarrow L(96.7\%)$
$S_0 \rightarrow S_5$	4.47	277.63	0.1080	$H-1 \rightarrow L+1(67.3\%), H \rightarrow L+3(19.5\%)$
Expt.	3.49	355		
Fluorescence				
$S_1 \rightarrow S_0$	3.05	405.98	1.3560	$H \rightarrow L(97.6\%)$
Expt.	3.02	410		
R=Br				
Absorption				
$S_0 \rightarrow S_1$	3.30	375.92	1.4444	$H \rightarrow L(97.1\%)$
$S_0 \rightarrow S_4$	4.14	299.11	0.0983	$H-1 \rightarrow L(75.0\%), H \rightarrow L+1(21.8\%)$
Fluorescence				
$S_1 \rightarrow S_0$	2.93	423.04	1.5785	$H \rightarrow L(97.7\%)$
R=CHO				
Absorption				
$S_0 \rightarrow S_1$	3.00	413.47	1.4477	$H \rightarrow L(98.0\%)$
$S_0 \rightarrow S_3$	3.51	352.91	0.0771	$H-1 \rightarrow L(95.2\%)$
Fluorescence				
$S_1 \rightarrow S_0$	2.72	456.01	1.5812	$H \rightarrow L(98.3\%)$
R=NO ₂				
Absorption				
$S_0 \rightarrow S_1$	2.74	452.82	1.3192	$H \rightarrow L(98.3\%)$
$S_0 \rightarrow S_5$	3.74	331.30	0.1125	$H-2 \rightarrow L(97.5\%)$
Fluorescence				
$S_1 \rightarrow S_0$	2.55	486.15	1.6105	$H \rightarrow L(98.1\%)$

Output ที่ได้จากการวิจัย

1. บทความวิจัย (Research article) 3 เรื่อง

1. ชื่อเรื่อง Understanding on Absorption and Fluorescence Electronic Transitions of Carbazole-Based Conducting Polymers

ภารสาร Theoretical Chemistry Accounts 2010, 125: 35-44.

2. ชื่อเรื่อง Effects of the CN and NH₂ substitutions on the geometrical and optical properties of model vinylfluorenes, based on DFT calculations

ภารสาร Journal of Molecular Structure: THEOCHEM 2010, 939: 75-81.

3. ชื่อเรื่อง Absorption and Emission Spectra of Methoxy Substituted Cinnamates Investigated Using the Symmetry-Adapted Cluster Configuration Interaction Method.

ภารสาร Journal of Chemical Physics 2009, 131: 224306.

2. นิสิตระดับปริญญาตรี สำเร็จการศึกษา ปริญญาวิทยาศาสตรบัณฑิต (เคมี) ปีการศึกษา 2552

จำนวน 2 คน

1. นายเอกชัย ปัญญาธรากร

2. นางสาวศิริกุล ทาระกา

3. นิสิตระดับปริญญาโท สำเร็จการศึกษา ปริญญาวิทยาศาสตรมหาบัณฑิต (เคมี) ปีการศึกษา 2552 จำนวน 2 คน

1. นางสาวมาลินี พรหมขี้ตี้แก้ว

2. นางสาวสุภาวรรณ์ ผลินยศ